ディーゼル機関排出ガス後処理用触媒の加熱用電気ヒータ

日大生産工(院) 〇大塚 要太 日大生産工 野村 浩司 日大生産工 菅沼 祐介 日大生産工 齋藤 郁

1. まえがき

ディーゼル機関は、燃料である軽油を高温高圧空気の流動場に高圧で噴射して自発点火させている。ガソリン機関と比較すると熱効率が高く、 CO_2 の排出が抑えられるという利点があり、広い分野で利用されている。しかしながら欠点として混合気形成が難しく、窒素酸化物(NOx)、粒子状物質(PM)の排出量抑制が難しい。PM排出量抑制については、燃焼改善とディーゼル粒子状物質フィルタ (DPF) により対応がなされている。NOx排出量抑制につい

ては、EGRシステムやコモンレール式噴射システムによるプレ噴射などの燃焼改善や、尿素SCRなどの後処理技術の進化によって大幅なNOx低減が実現されてきた.しかしながら、自動車の排出ガスの規制は年々厳しくなっている(1)ため、今後も、さらなるPMとNOxの低減が求められている.

本研究では、NOxの後処理方法として知られているHC-SCR触媒の高効率な急速昇温装置の開発をおこなってきた. HC-SCR触媒は触媒活性温度域が350℃付近であり、低温の場合、被毒の影響によりNOx低減率が悪化することがわかっている^②. 本報では、断熱性を高めた流路に電気ヒータを組み込み、主流空気流量が電気ヒータの空気加熱効率におよぼす影響を調べた結果を報告する.

2. 実験装置および方法

実験装置の概略を図1に示す. 実験装置は主 にブロア,流量調節弁,電気ヒータ,空気流量 を計測する計測装置, 熱電対, 燃焼室から構成 される. ブロアから供給される主流空気は流量 調節弁を用いて、流量を調節する. 実験に使用 した電気ヒータおよび電気ヒータの仕様をそ れぞれ、図2と表1に示す. 電気ヒータはシート 状の発熱体が渦巻き状に巻かれており,空気を 通過させることによりその急速な加熱が可能 である. 実験ではこれまでに用いていた電気 ヒータを、目の粗いものから順にEH-1~EH-4 とし、また、フランジの肉厚等を変更して大幅 に軽量化を施した電気ヒータをEH-4Lとした. また、EH-4Lにはヒータ内壁にも断熱処理を 施した. 主流温度計測用熱電対には、シース外 直径1.6 mm (非接地) のK熱電対を使用した.

表1 電気ヒータの仕様

		粗さ	ヒータ幅×長さ [mm]	定格出力 [kW]	質量 [kg]	フランジ部厚さ [mm]	抵抗値 [Ω]
	EH-1	粗い	30×300				2.1
	EH-2		10×300		4.0	11	4.5
ſ	EH-3		20×300	2	4.0	11	4.2
	EH-4	細かい	30×300				3.9
[EH-4 L	EH-4と同等	30×300		1.5	5	3.6

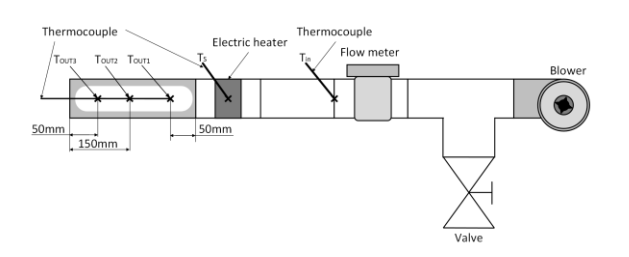


図1 実験装置概略



図 2 実験に使用した電気ヒータ (左: EH-3, 右: EH-4L)

図2中の×印は、温度計測点を示している. 温度計測は、燃焼室内の中心軸上で行った. 計測点の位置は、燃焼室入り口のフランジ端面からの距離で示されている.

次に、実験手順を記述する。まず、ブロアを起動し、バルブにより主流空気流量を調節する。次にボルトスライダを操作し、電気ヒータの電圧と電流を測定し、ヒータ出力を求める。温度が安定したら再度空気流量を確認・調整し、熱電対を使用し、ヒータ上流側温度 $T_{\rm in}$ 、ヒータ表面温度 $T_{\rm in}$,通過後温度 $T_{\rm out}$ を測定し、PCリンク

Electric heater for catalysts of emission aftertreatment system of diesel engines

Yota OTSUKA, Hiroshi NOMURA, Yusuke SUGANUMA and Iku SAITO

型高性能レコーダで3分間記録を取る. バルブを操作し主流空気流量を下げながら実験をおこなった.

3. 実験結果および考察

電気ヒータ EH-3 と EH-4 L を用いて加熱 実験を行うことにより、加熱部(電気ヒータ設 置区間) からの熱損失が温度上昇幅に及ぼす影 響を調べた. 温度 T_{out1} の S 測定結果を図 3 に 示す. 電気ヒータ EH-4 L, 出力 0.4 kW の条 件では、ヒータ表面温度が高熱となり、ヒータ 溶損の恐れがあったため主流空気流量 0.6 NL/s 以下の実験を行わなかった. 実験結果よ り, 電気ヒータ設置区間および取付フランジの 熱容量を減少させ,流路内壁に断熱材を設置す ることにより流れの断熱性を高めた電気ヒー タ EH-4 L を用いた場合, EH-3 を用いた場合 に比較して,大きな温度上昇幅を示した.電気 ヒータから主流空気への熱伝達量は流速の増 大に伴って増大するが,流量の増大に伴って温 度上昇幅は減少する.後者の影響のみであれば 温度上昇幅は流量の逆数に比例することにな るが,前者の影響があり,温度上昇幅は流量の -1乗ほど減少はしていない. EH-3においては, 熱損失が大きいために流れの温度の不均一性 が高いことが原因で単調な減少にならなかっ たと考えられる. EH-4 L では主流空気流量 に対して温度上昇幅は単調に減少した.

電気ヒータ EH-4 L を用いて、ヒータ出力が 主流空気流量と温度上昇幅の関係に及ぼす影響を調べた. 結果を図 4 に示す. 主流空気流量 の増大に伴い、 温度上昇幅は両ヒータ出力に おいても緩やかに減少した. 主流空気流量全範 囲において、ヒータ出力が大きい条件の方が温 度上昇幅が大きかった. ただし、ヒータ出力が 2 倍になっても、温度上昇幅は 2 倍にはならな かった. ヒータ出力の増大に伴ってヒータ表面 温度と主流空気温度の差が増大して電気ヒー タから主流空気への熱伝達量は増大するが、同 時に電気ヒータ部から外部への熱損失が急激 に増大したことが原因と考えられる.

4. おわりに

従来使用していた電気ヒータと断熱処置を施した新型電気ヒータの比較実験をおこない、加熱部からの熱損失が空気の温度上昇幅に与える影響について調べる実験を行った. 得られた知見を以下にまとめる.

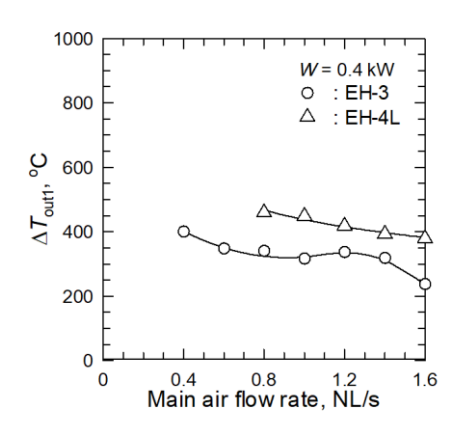


図3 熱損失が温度上昇幅におよぼす影響

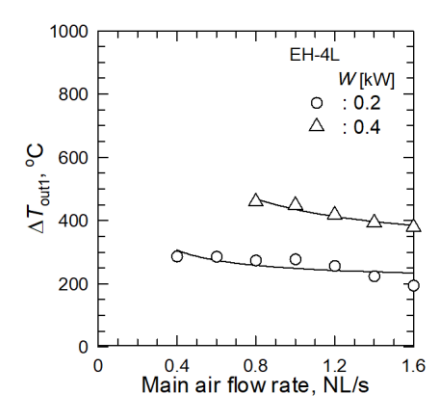


図4 電気ヒータ出力が温度上昇幅におよ

- 1) 従来の電気ヒータと断熱処置を施した新型電気ヒータを比較した結果,新型電気ヒータの方が実験をおこなった全ての条件で温度上昇幅が大きくなった。電気ヒータ表面および空気流から流路壁への熱損失が抑制されたためだと考えられる。
- 2) 新型電気ヒータを用い、出力0.2と0.4 kWの実験をおこなった。その結果、ヒータ出力が大きい条件の方が温度上昇幅は実験を行った全ての空気流量で大きかったが、2倍以下の温度上昇幅だった。これは、ヒータ出力が増大すると熱損失量が急激に増大するためだと考えられる。

参考文献

- 1) 石井素, 自動車の排出ガス規制等の動向, マリンエンジニアリング, 47巻6号(2012) pp. 829-834.
- 2) 佐野穂高,低温酸化反応を利用した ディーゼル機関NOx後処理技術,日本大 学大学院生産工学研究科 2022 年度修士 論文